

01;03

Определение параметров следового течения двух противофазно синхронизованных дорожек Кармана посредством рассмотрения устойчивости конфигурации

© Г.В. Гембаржевский

Институт проблем механики им. А.Ю. Ишлинского РАН, Москва
E-mail: gvgemb@ipmnet.ru

Поступило в Редакцию 23 июня 2010 г.

В пределе невязкого несжимаемого течения рассматривается задача определения параметров ближнего следа за группой из двух цилиндрических плохобтекаемых тел по данным одноточечных спектров пульсации скорости. Для этого в рамках модели течения в форме двух противофазно синхронизованных дорожек Кармана проводится рассмотрение устойчивости этой конфигурации следа относительно бесконечно малых возмущений равновесной локализации вихрей. Получено необходимое условие устойчивости течения.

В работе [1] сообщается о наблюдении перестройки режима плазменного течения ближнего следа за двумя цилиндрами, вызванного увеличением тока тлеющего разряда, протекающего в плазме (от моды противофазной синхронизации дорожек Кармана к моде синфазной синхронизации). Конкуренция этих мод в нейтральном потоке активно обсуждается [2]. По имеющимся экспериментальным данным, в рамках одномерной модели течения в форме связанных осцилляторов Ван-дер-Поля, удалось оценить интенсивность взаимодействия осцилляторов-дорожек и параметр демпфирования [1,3]. Однако для полноценного понимания эффекта необходимо определение целого набора параметров этого течения в условиях дефицита экспериментальных данных. На этом этапе исследования имеет смысл обратиться к рассмотрению гидродинамической двумерной модели течения и рассмотреть вопрос устойчивости кинематически возможных конфигураций следового течения с целью выделения реализуемых устойчивых режимов. Для решения этой задачи следует воспользоваться классическими работами по устойчивости до-

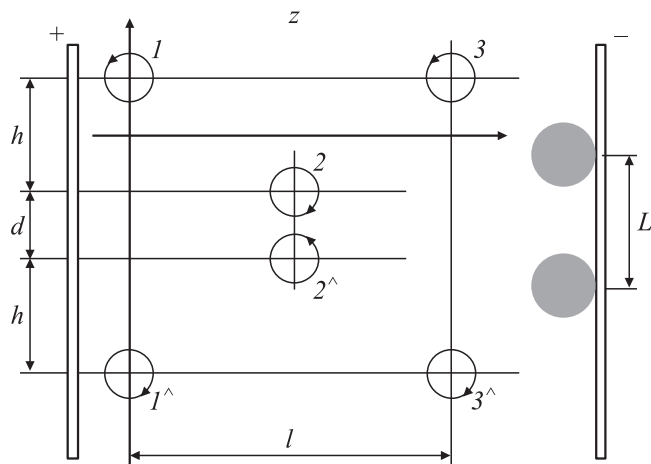


Рис. 1. Схема ближнего следового течения за группой из двух цилиндров в форме двух противофазно синхронизованных дорожек Кармана.

рожки Кармана [4]. При высоких числах Рейнольдса течения эволюция сформировавшихся дорожек Кармана под действием сил вязкости будет сравнительно медленной, и соответственно вязкостью течения можно пренебречь в первом приближении. Для численной оценки эффекта воспользуемся соответствующим параметром малости для динамики вязкого уединенного вихря [4]:

$$\exp\left(-\frac{r^2}{4\nu t}\right) \sim \exp\left(-\frac{\text{Re Sh}}{4}\right) \ll 1,$$

где ν — кинематическая вязкость, Re и Sh — числа Рейнольдса и Струхала соответственно. Для численной оценки этого параметра малости в условиях турбулентного течения ($\text{Re} \sim 10^3$) в приведенной оценке следует использовать критическое число Рейнольдса $\text{Re} \rightarrow \text{Re}_{cr} \sim 47$ (иными словами использовать эффективную турбулентную вязкость), $\text{Sh} \sim 0.2$. Из приведенных оценок следует, что определяющий параметр действительно мал.

Схема модельного течения плазменного следа за двумя цилиндрами в форме двух противофазно синхронизованных дорожек Кармана приведена на рис. 1. Для условий эксперимента [1] ток основного разряда (с емкостной несамостоятельной ионизацией) протекает между

тонкотрубчатými катодом и анодом, маркированными на схеме знаками „-“ и „+“. Приведены геометрические параметры дорожек Кармана: l — их продольный период, h — ширина (одной) дорожки, d — зазор между дорожками.

Рассматриваем модель сформировавшегося следа в виде плоского невязкого несжимаемого течения

$$\begin{aligned} \frac{\partial u}{\partial t} + u \frac{\partial u}{\partial x} + v \frac{\partial u}{\partial y} + \frac{1}{\rho} \frac{\partial p}{\partial x} = 0, \quad \frac{\partial v}{\partial t} + u \frac{\partial v}{\partial x} + v \frac{\partial v}{\partial y} + \frac{1}{\rho} \frac{\partial p}{\partial y} = 0, \\ \frac{\partial u}{\partial x} + \frac{\partial v}{\partial y} = 0, \end{aligned} \quad (1)$$

где u, v — компоненты скорости, ρ — плотность, p — давление.

Ввиду ортогональности осей катода и цилиндров течение номинально трехмерно. Однако можно ожидать, что интересующая нас крупномасштабная структура течения будет близка к двумерной, если достаточно мал параметр отношения диаметра катода к диаметру цилиндра; в рассматриваемом случае эта величина составляет 4/15. Согласно [5], ширина области возмущенного (трехмерного) течения на нижнем по потоку цилиндре составляет половину диаметра (верхнего) цилиндра $\sim 4 \text{ mm}/2$. Форма течения — две параллельные противофазно синхронизованные дорожки Кармана (рис. 1), описываемые комплексным потенциалом w [4]:

$$\begin{aligned} w = \frac{\Gamma}{2\pi i} \ln \sin \left(\pi \frac{z - z_1}{l} \right) - \frac{\Gamma^*}{2\pi i} \ln \sin \left(\pi \frac{z - z_2}{l} \right) \\ - \frac{\Gamma}{2\pi i} \ln \sin \left(\pi \frac{z - z_1^\wedge}{l} \right) + \frac{\Gamma^*}{2\pi i} \ln \sin \left(\pi \frac{z - z_2^\wedge}{l} \right), \\ \frac{\partial w}{\partial z} = u - iv. \end{aligned} \quad (2)$$

Центры нитеподобных вихрей z_k расположены в точках комплексной плоскости $z = x + iy$ согласно рис. 1, причем обозначение центров вихрей второй дорожки Кармана имеет в индексе символ „ \wedge “. Условие стационарности течения (т.е. перемещения всей картины течения вдоль оси x как целого) есть условие (3) на соотношение γ интенсивностей вихрей во внешних Γ и внутренних Γ^* рядах вихрей в следе и геометрию

дорожек:

$$\gamma \equiv \frac{\Gamma^*}{\Gamma} = \frac{\text{th}(a) + \text{th}(a+b) - \text{cth}(2a+b)}{\text{th}(a) - \text{th}(a+b) + \text{cth}(b)}, \quad a = \pi \frac{h}{l}, \quad b = \pi \frac{d}{l}. \quad (3)$$

В соответствии с (3) две противофазно синхронизованные стационарные дорожки Кармана реализуются только при достаточной их ширине h . Это условие реализуемости имеет вид

$$q \geq \max \left\{ 0; \frac{\sqrt{4 - 11p^2 + 10p^4 - 3p^6} - (p + 3p^3)}{2(1 + p^4)} \right\},$$

$$q = \text{th}(b), \quad p = \text{th}(a). \quad (4)$$

Зависимость относительной интенсивности вихрей от геометрии стационарной пары дорожек проиллюстрирована на рис. 2 посредством линий уровня относительной циркуляции γ . (Результат $\gamma < 1$ для противофазной синхронизации дорожек был получен L. Landweber [6].)

Рассмотрим устойчивость этого течения относительно бесконечно малых возмущений расположения вихрей $z_k \rightarrow z_k + \delta z_k$, причем $\delta z_{k+4} = \delta z_k$, $\delta z_{k+2} = -\delta z_k$. Полученная подобным образом линеаризованная система уравнений возмущенного движения обладает свойством симметрии $\delta z_{k\wedge} = \pm \delta \bar{z}_k$, позволяющим понизить ее порядок до четвертого (черта сверху символа обозначает комплексное сопряжение), что приводит к системе двух комплексных уравнений:

$$\frac{\partial \delta \bar{z}_1}{i \partial \tau} = A_1 \delta z_1 + A_{1\wedge} \delta \bar{z}_1 + i\gamma D \delta z_2 - i\gamma D_{\wedge} \delta \bar{z}_2, \quad (5)$$

$$\frac{\partial \delta \bar{z}_2}{i \partial \tau} = -iD \delta z_1 - iD_{\wedge} \delta \bar{z}_1 - A_2 \delta z_2 - A_{2\wedge} \delta \bar{z}_2, \quad \tau = t \frac{\pi \Gamma}{8l^2}. \quad (6)$$

Решения системы (5), (6) ищем в форме $\delta z_k = \delta z_k(0) \exp(i\omega\tau)$, с комплексной частотой ω . Условие существования нетривиальных решений системы

$$\omega^4 + B\omega^2 + C = 0 \quad (7)$$

приводит к условиям устойчивости (в данном случае — нейтральной) течения:

$$B \geq 0, \quad C \geq 0; \quad B^2 - 4C \geq 0. \quad (8)$$

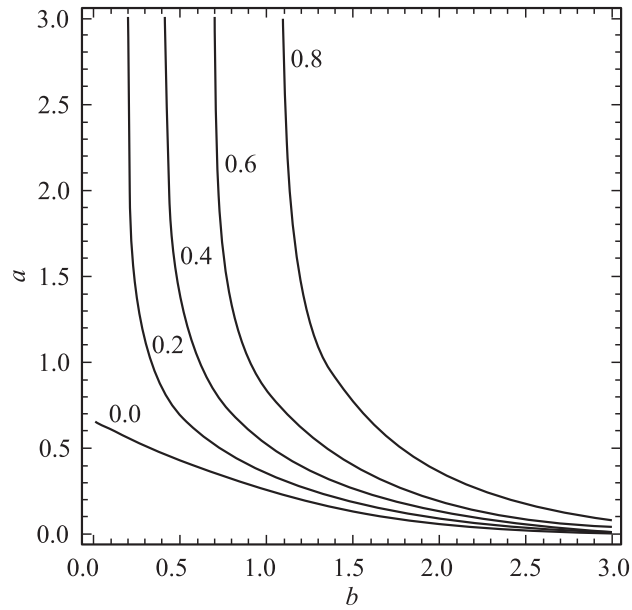


Рис. 2. Зависимость относительной циркуляции вихрей γ во внутренних и внешних рядах течения от геометрии дорожек в модели стационарного следа.

Коэффициенты системы (5), (6) и уравнения (7) есть

$$\begin{aligned}
 B &= 2\gamma(D^2 - D^{\wedge 2}) - (A_1^2 - A_1^{\wedge 2}) - (A_2^2 - A_2^{\wedge 2}), \\
 C &= [(A_1 + A_1^{\wedge})(A_2 - A_2^{\wedge}) + \gamma(D + D^{\wedge})^2] \\
 &\quad \times [(A_1 - A_1^{\wedge})(A_2 + A_2^{\wedge}) + \gamma(D - D^{\wedge})^2], \quad (9) \\
 A_1 &= 2 + \frac{4}{\text{sh}^2(2a + b)} + \gamma E, \quad A_2 = \gamma \left[2 + \frac{4}{\text{sh}^2(b)} \right] + E, \\
 E &= \frac{4}{\text{ch}^2(a + b)} - \frac{4}{\text{ch}^2(a)}, \\
 A_1^{\wedge} &= -4 \frac{\text{ch}(2a + b)}{\text{sh}^2(2a + b)}, \quad A_2^{\wedge} = -4\gamma \frac{\text{ch}(b)}{\text{sh}^2(b)}, \\
 D &= 4 \frac{\text{sh}(a)}{\text{ch}^2(a)}, \quad D^{\wedge} = 4 \frac{\text{sh}(a + b)}{\text{ch}^2(a + b)}.
 \end{aligned}$$

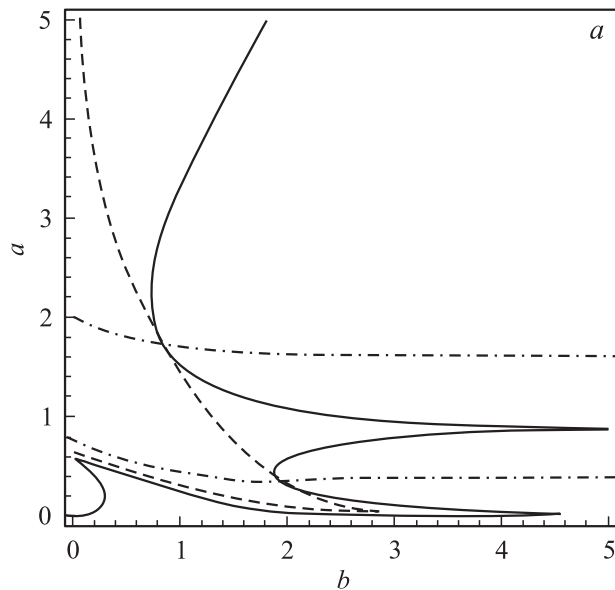


Рис. 3. Область устойчивости течения двух противофазно синхронизованных дорожек Кармана: a — границы выполнения условий (8), b — треугольник устойчивости течения.

Границы области устойчивости течения, согласно условиям (8), изображены на рис. 3, a : $B^2 - 4C = 0$ — сплошными линиями, $C = 0$ — пунктиром, $B = 0$ — штрихпунктиром. Соответственно сама область устойчивости на плоскости геометрических параметров дорожек a, b представляет собой внутренность криволинейного треугольника (рис. 3, b).

Полученный результат позволяет объяснить известный экспериментальный факт, что след за двумя цилиндрическими телами в форме противофазно синхронизованных дорожек Кармана удастся наблюдать только при достаточно большом зазоре между телами. Согласно полученным выше результатам и с учетом дестабилизирующего влияния турбулентности течения, противофазная синхронизация дорожек в следе может наблюдаться в ограниченном диапазоне углов $b/a = d/h$ на плоскости a, b :

$$d/h \in (\sim 0.8; \sim 3.3),$$

проиллюстрированном на рис. 3, b штриховыми лучами.

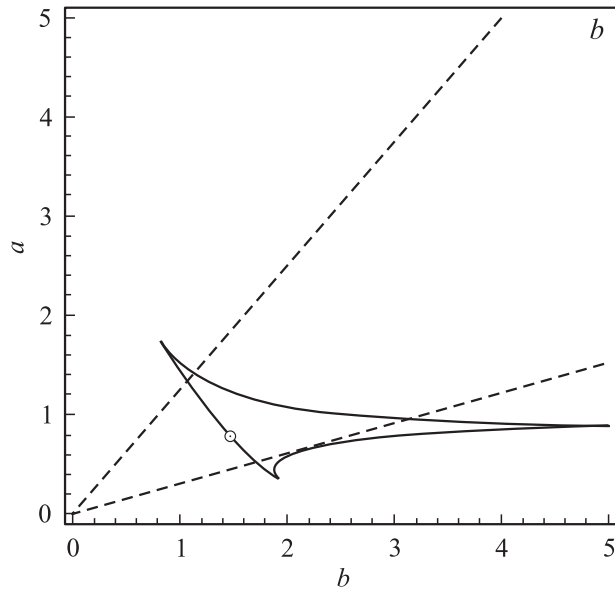


Рис. 3 (продолжение).

Ввиду громоздкости полученных условий устойчивости течения (8), (9) имеет смысл использование аппроксимаций. Так, для левой стороны треугольника устойчивости (рис. 3, b) получено разложение в точке $b = 0$, имеющее погрешность $\leq 3\%$ для значений $b < 1.75$:

$$\exp(-2a) = \frac{b^2 + b^3 + (5/6)b^4 + (1/2)b^5 + \dots}{64}. \quad (10)$$

Сопоставление данных по локализации области устойчивости течения противофазно синхронизированных дорожек Кармана с полученными экспериментальными данными по расщеплению — сдвигу частот квазигармонических пульсаций плазменного течения следа [1,3] позволяет сделать следующий вывод. В процессе формирования следа противофазной синхронизации след претерпевает уширение, причем минимальное значение коэффициента уширения

$$\min \chi_{\pi} = \frac{h+d}{L} = 1.14,$$

где L — расстояние между осями цилиндров. Тогда безразмерные геометрические параметры следа принимают значения, обозначенные кружком на рис. 3, b :

$$a = 0.77, \quad b = 1.47.$$

В результате выполненной работы найдены необходимые условия устойчивости течения двух противофазно синхронизованных дорожек Кармана. Из сопоставления полученных результатов с экспериментальными данными по пульсациям скорости плазменного следового течения следует вывод о необходимости учета уширения ближнего следа в процессе его формирования. Удалось выполнить оценку геометрии плазменного следового течения с противофазной синхронизацией дорожек Кармана для условий эксперимента [1].

Основные результаты работы были представлены в докладах на VIII Международной конференции по неравновесным процессам в соплах и струях и на IUTAM симпозиуме Bluff Body Wakes and Vortex-Induced Vibrations-6.

Автор признателен Э.В. Теодоровичу за полезные обсуждения.

Работа выполнена при поддержке РФФИ, проект 09-01-00845.

Список литературы

- [1] *Гембаржевский Г.В.* // Письма в ЖТФ. 2009. Т. 35. В. 5. С. 95–102.
- [2] *Ravi A.B., Tan M., and Price W.G.* // Eur. Phys. J. Special Topics. 2008. V. 165. P. 151–160.
- [3] *Gembarzhevskii G.V.* // VI Int. conf. on Plasma Physics and Plasma Technology. Contributed papers. Minsk: Polifact, 2009. V. 1. P. 27–30.
- [4] *Кочин Н.Е., Кибель И.А., Розе Н.В.* Теоретическая гидромеханика. Ч. 1, 2. М.: Физматгиз, 1963.
- [5] *Zdravkovich M.M.* // J. Fluid Mech. 1983. V. 128. P. 231–246.
- [6] *Bearman P.W., Wadcock A.J.* // J. Fluid Mech. 1973. V. 6. Part 3. P. 499–511.